

FIG. 1

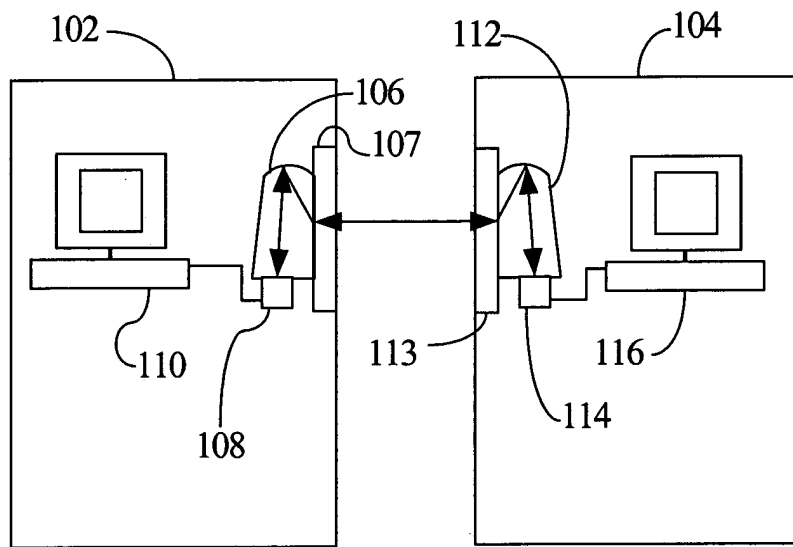
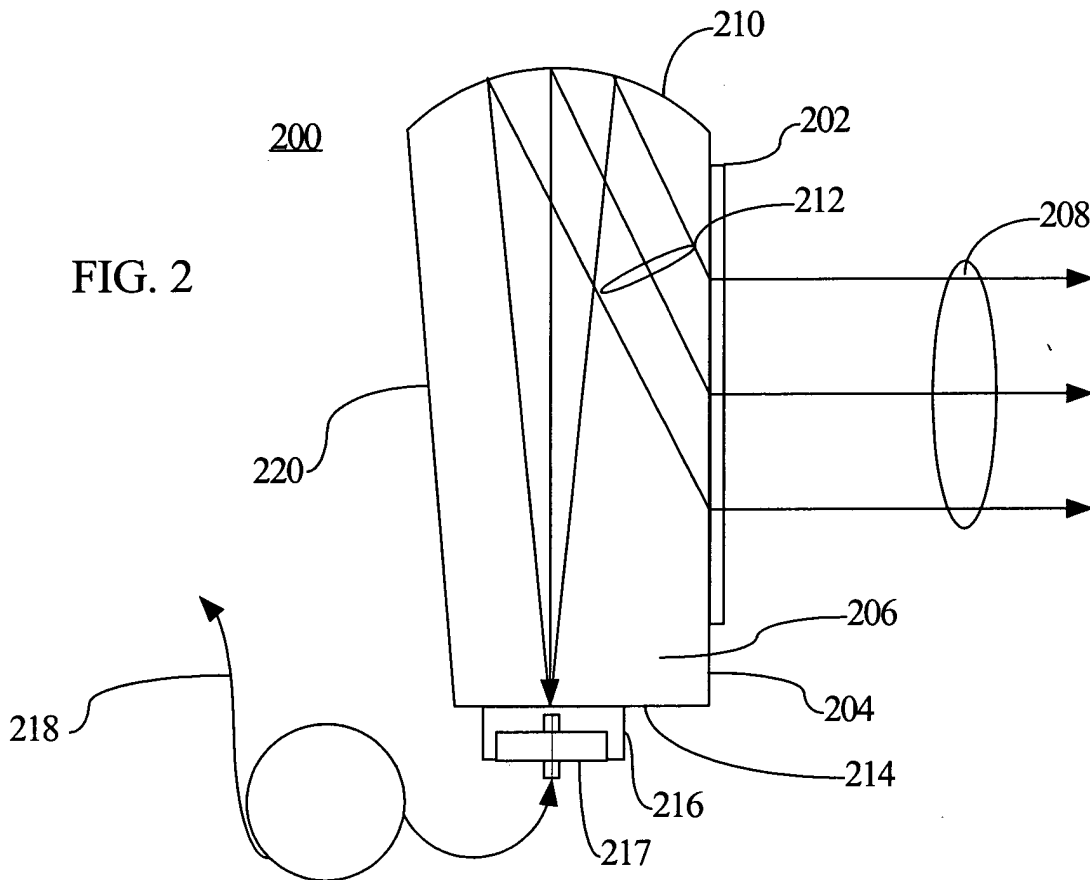


FIG. 2



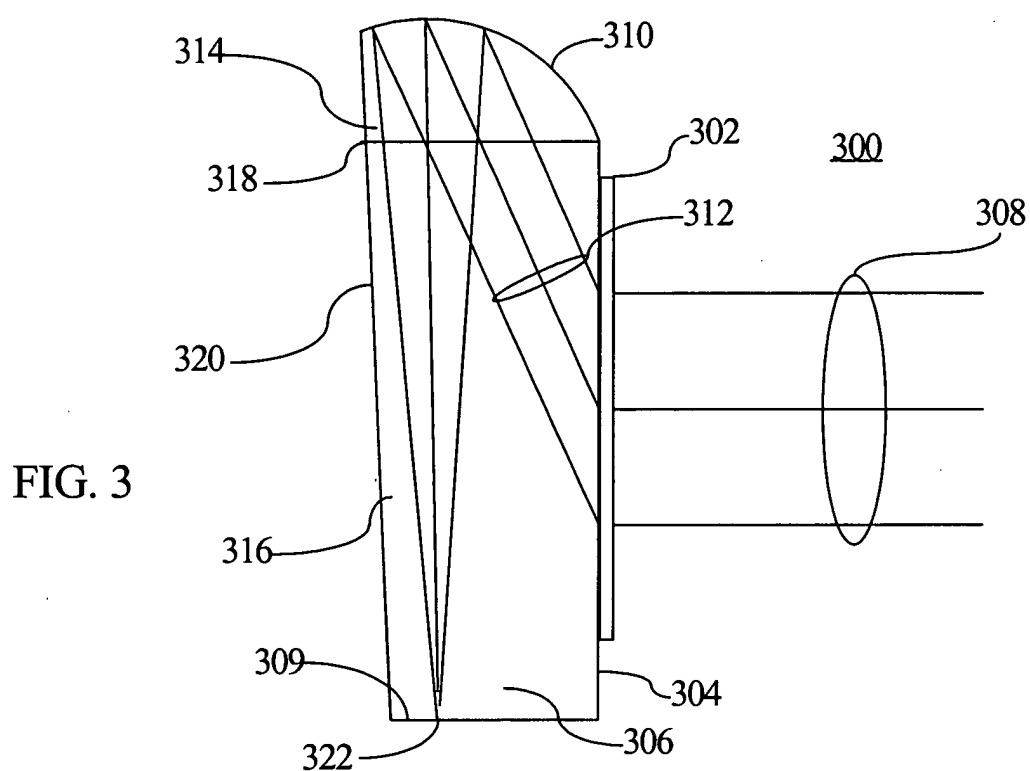


FIG. 3

10020518-0004014

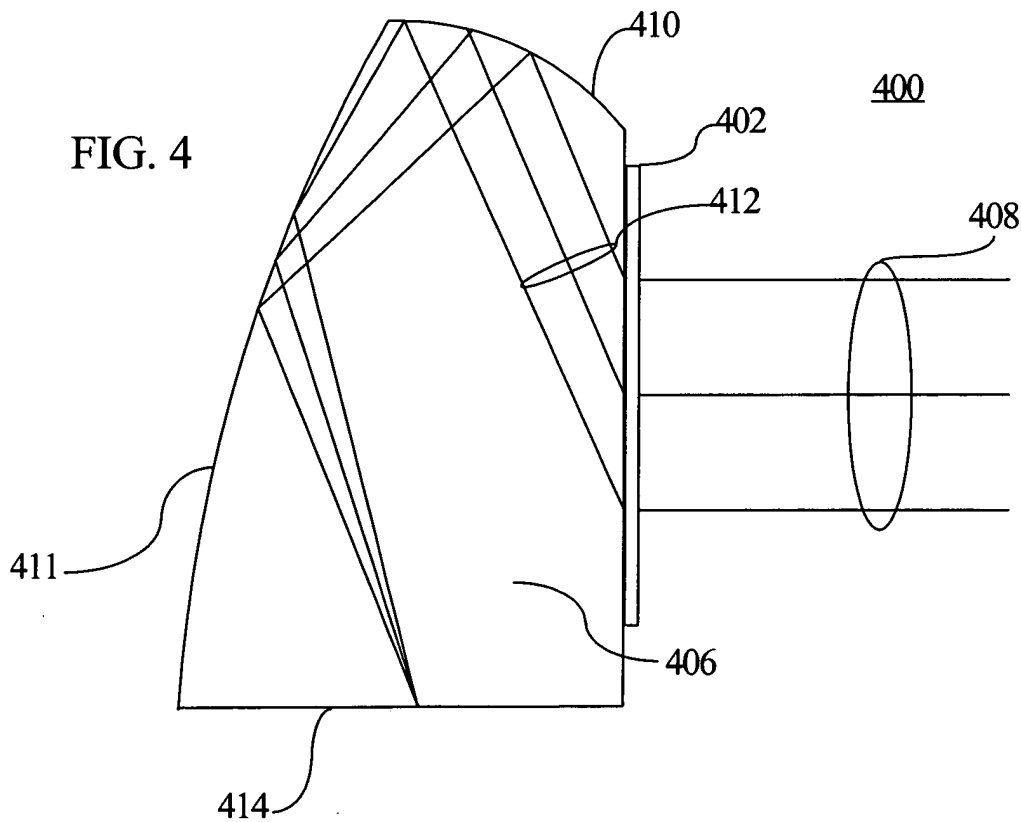


FIG. 4

FIG. 5

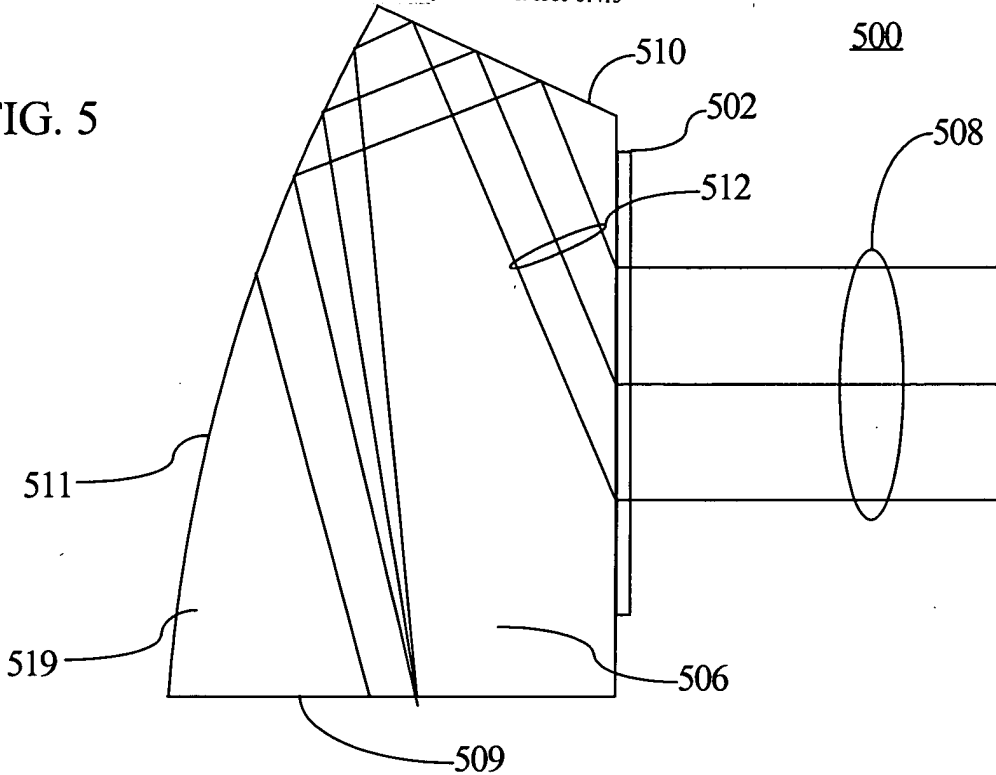


FIG. 6

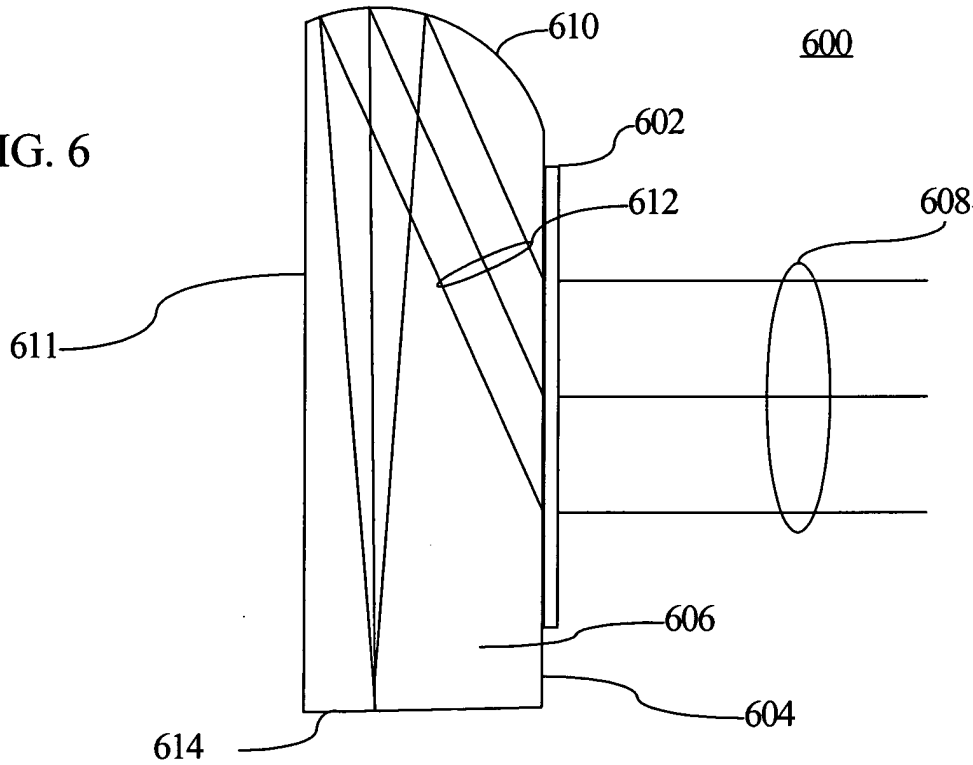


FIG. 7

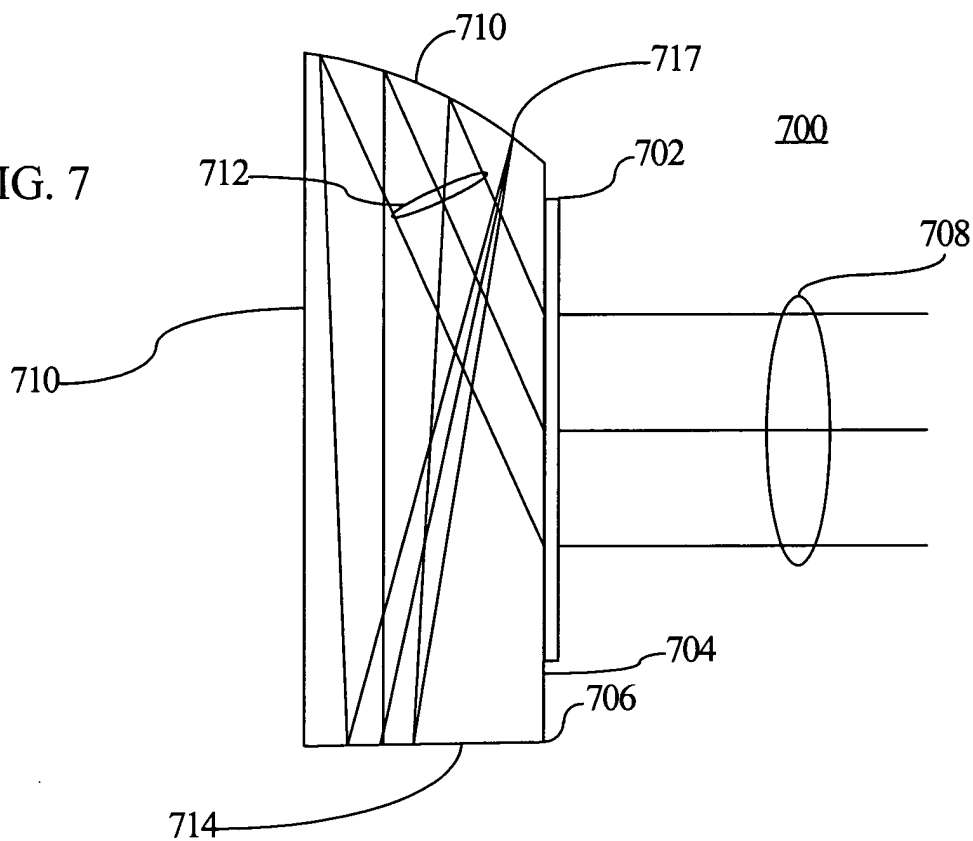
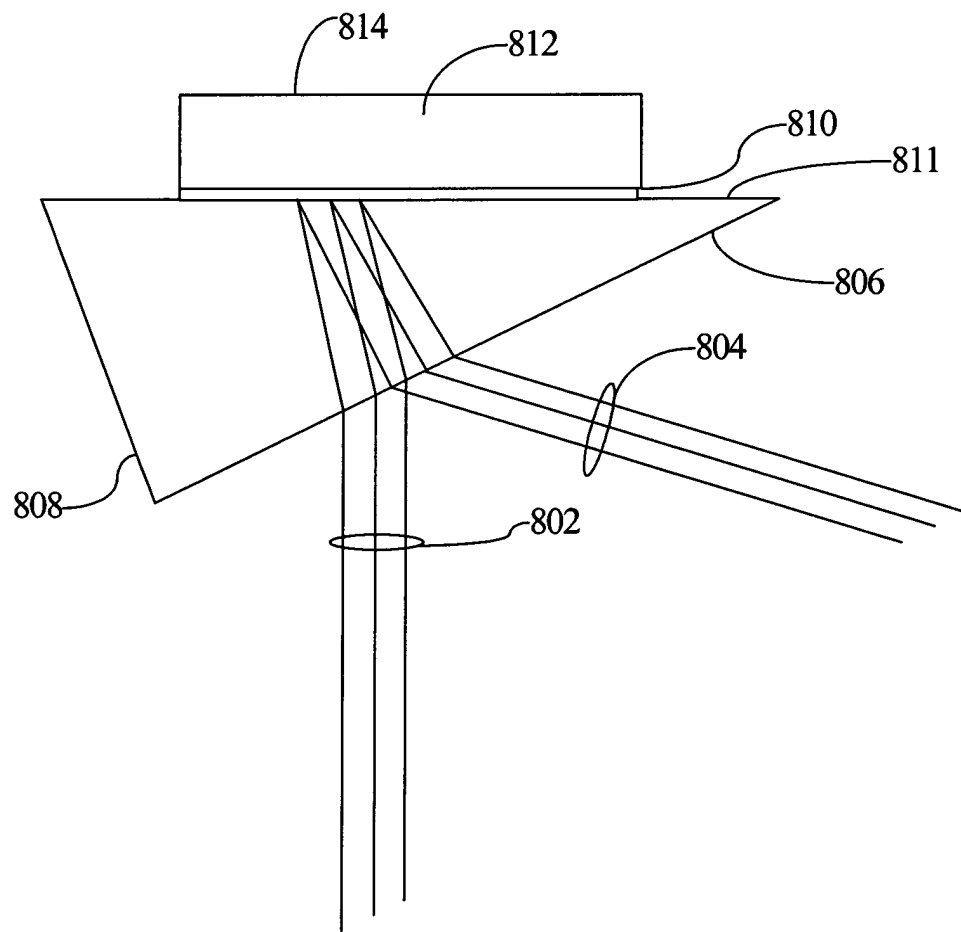
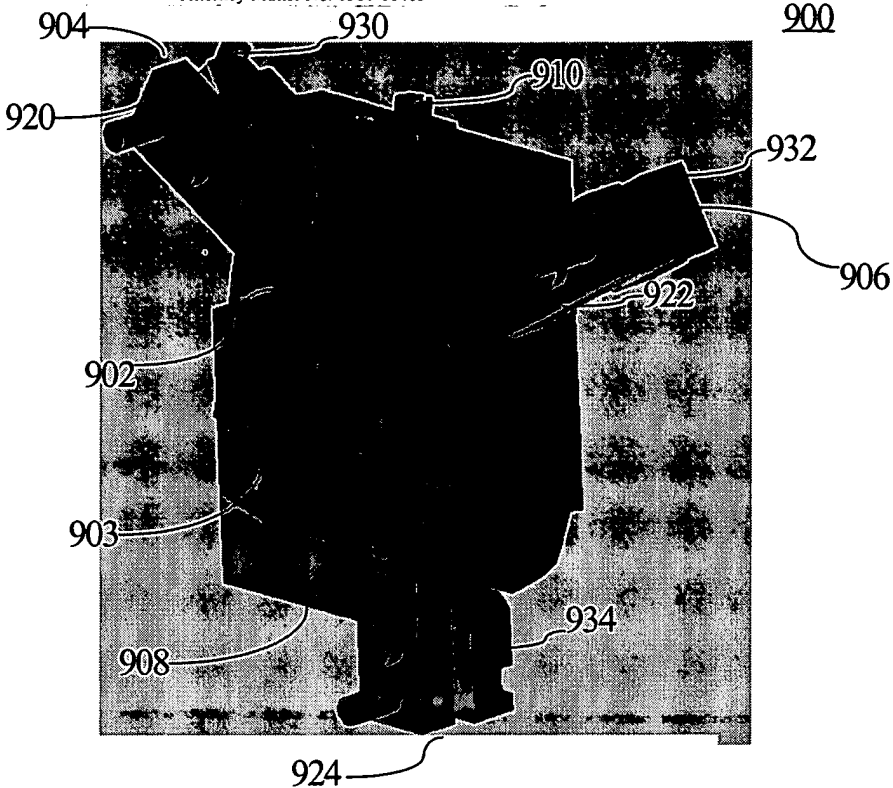


FIG. 8



100205316-1221401

FIG. 9



LITERATURE

FIG. 10A

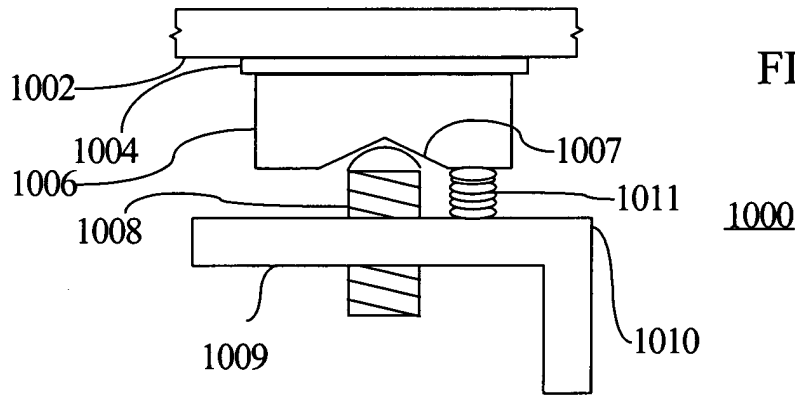
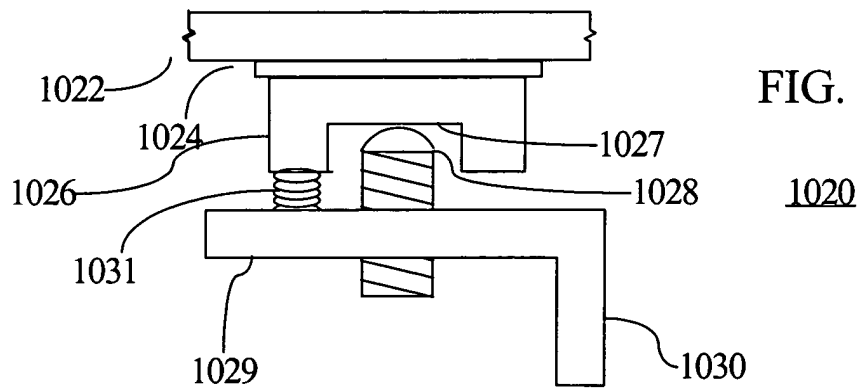


FIG. 10B



1000261521101

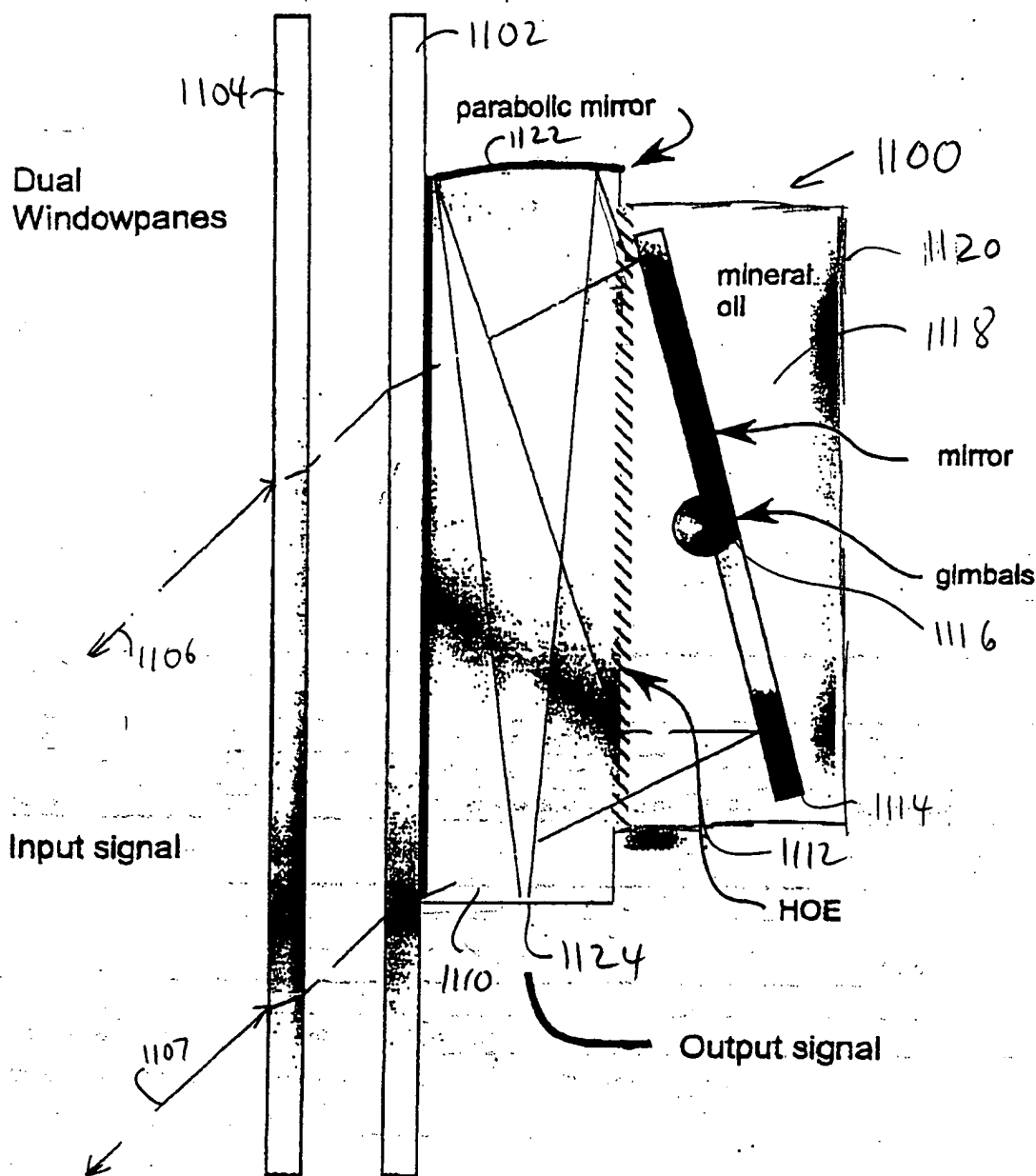


FIG. 11

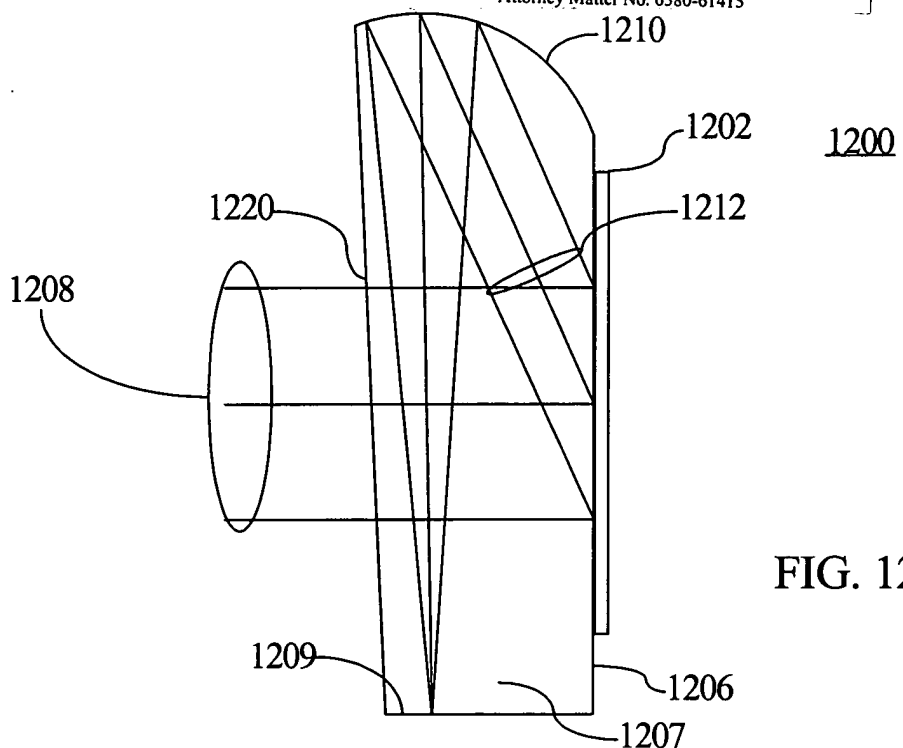


FIG. 12

10020018-121410

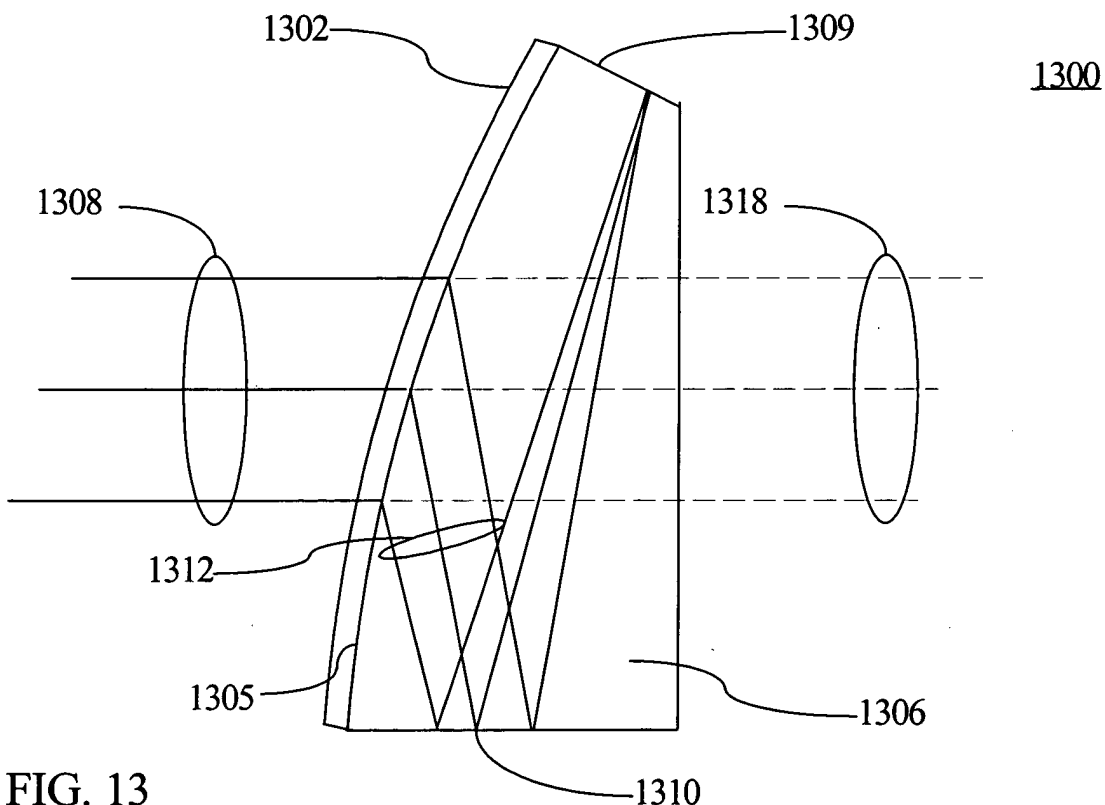


FIG. 13

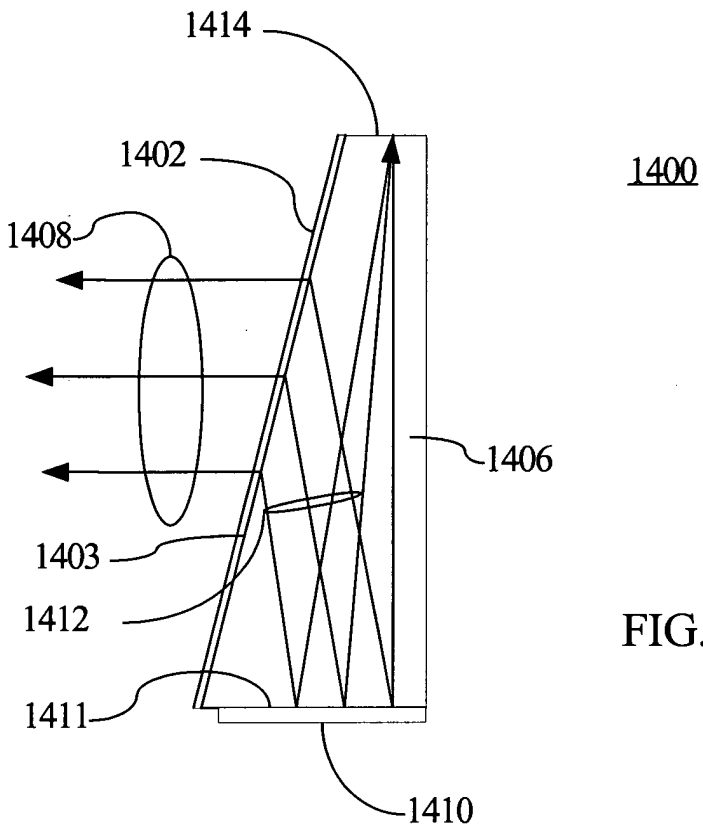


FIG. 14

1402 1403 1404 1405 1406 1407 1408 1409 1410 1411 1412 1413 1414

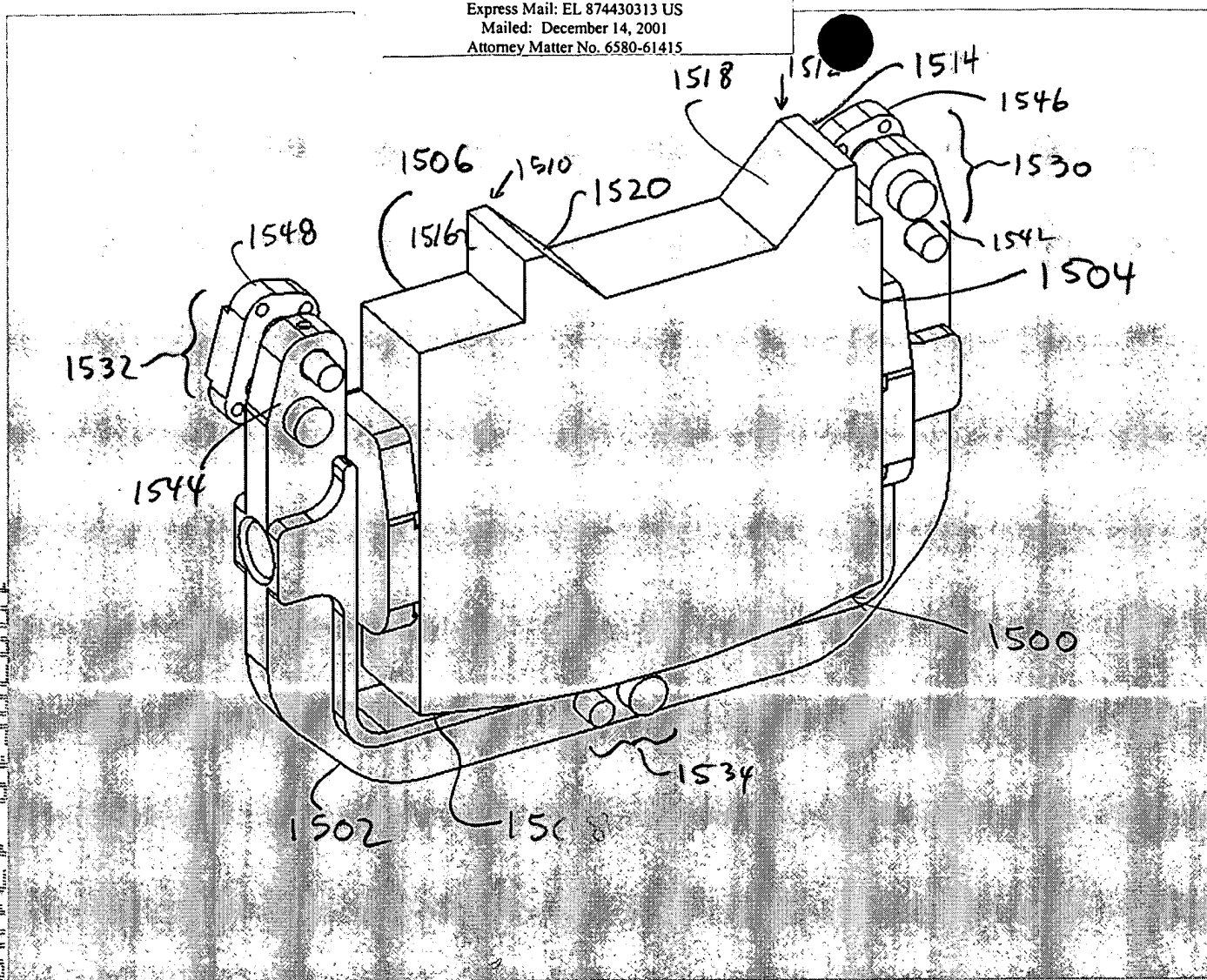


FIG. 15.

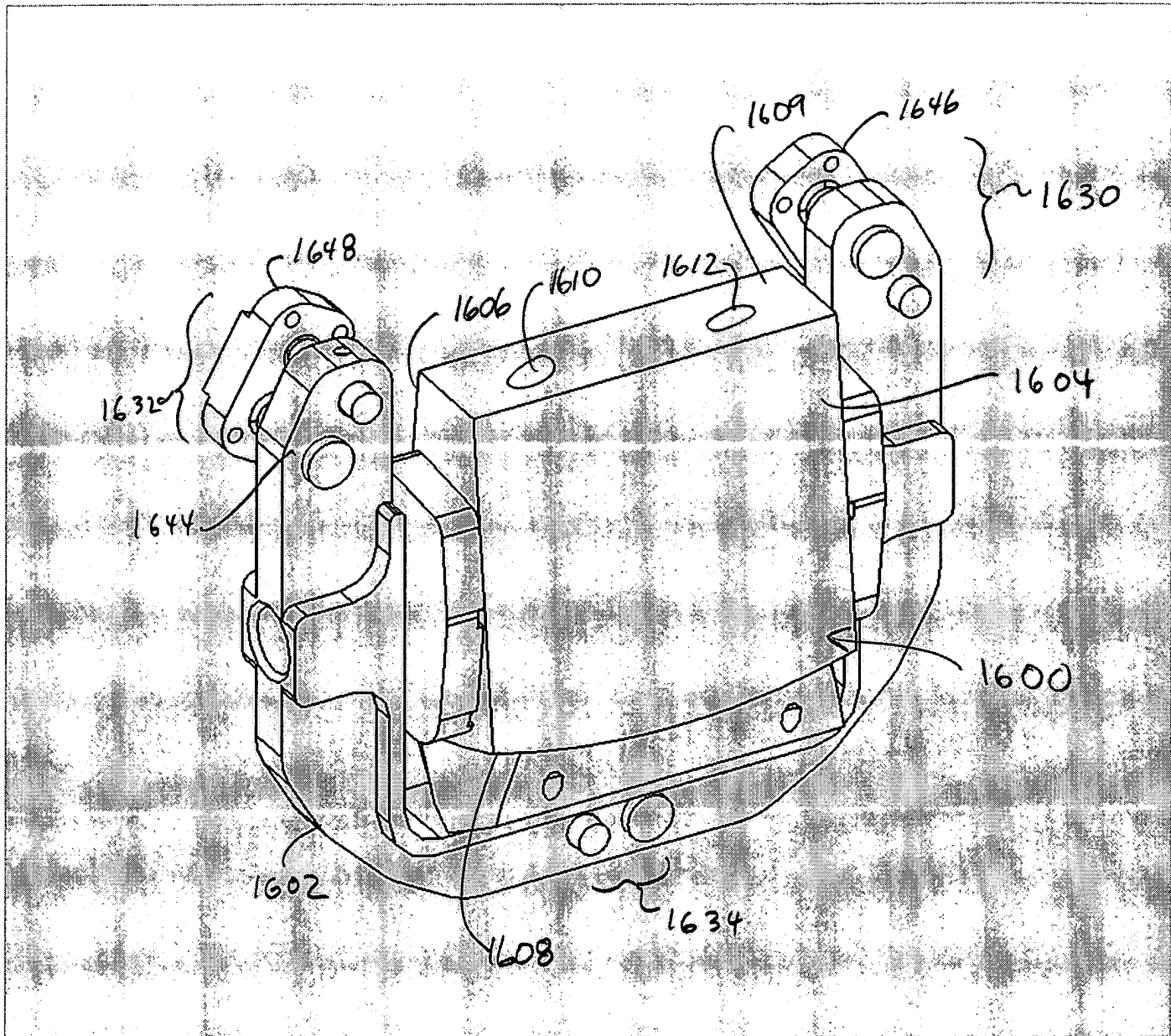


FIG. 16